



湍流：十九世纪的问题，二十一世纪的挑战

报告人：何国威

中国科学院力学研究所非线性力学国家重点实验室

二〇一五年十一月四日

主要内容

- 引言
- 湍流的两个主要进展：
湍流的统计理论和数值模拟
- 湍流的三个新挑战：
湍流燃烧，湍流噪声，生物推进
- 结束语：3 (+1) 个相关数学问题

湍流：流体力学的核心问题之一

- 什么是湍流？有序和无序的相互作用

- 完全有序：确定性方法
- 完全无序：随机方法

- 海森堡说：我要带两个问题去问上帝，

一个是量子力学，一个是湍流。

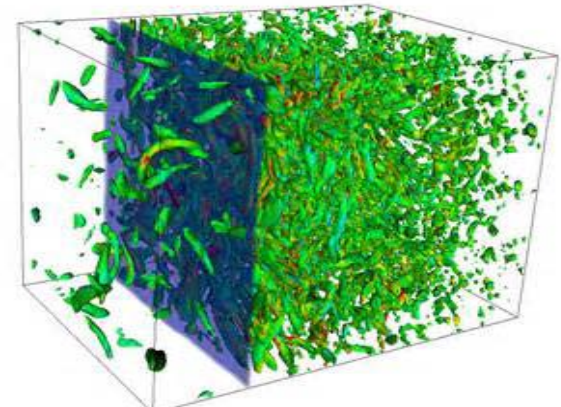
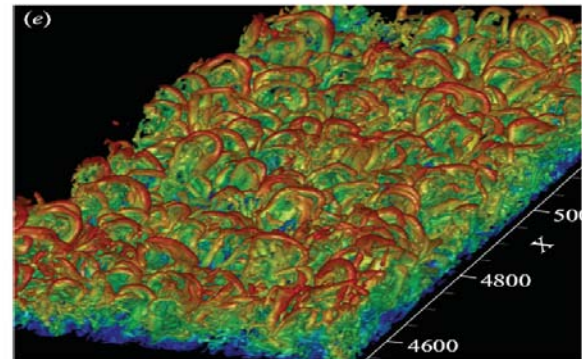
我估计第一个问题是有答案的。

- 湍流的困难：

- 3D unsteady chaotic nature
- Non-linear interaction at vastly different scales

没有现存的方法描述湍流

对人类智慧和认识的挑战



Fluid Dynamics: Meeting National Needs

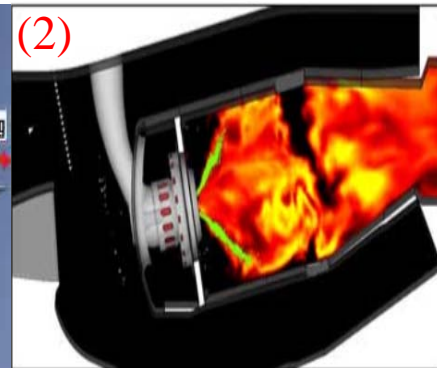
- 三个领域：
 - Transportation systems
 - Process industries
 - Natural environment

- 四个主要问题：

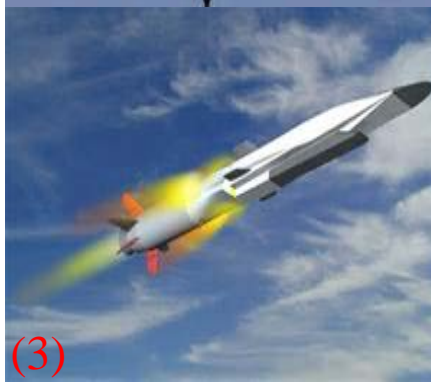
(1) Aircraft/Vehicle: 湍流升阻力



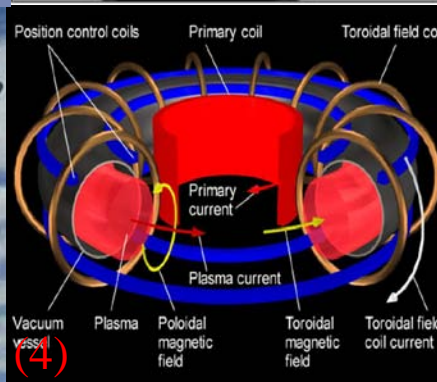
(2) Engine(aircraft & ships): 湍流燃烧



(3) Hypersonic flight: 边界层转捩



(4) Inertial-confinement fusion: 湍流混合

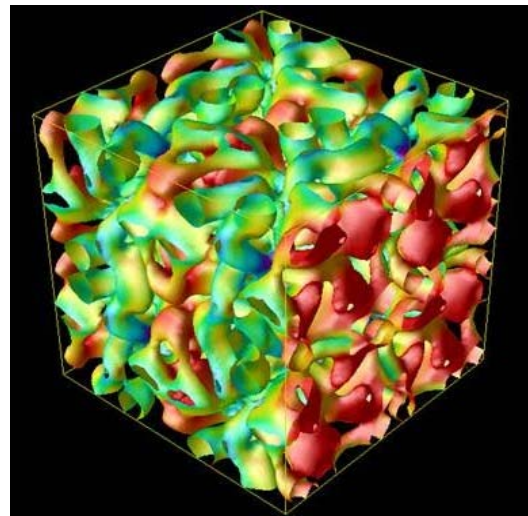


Navier-Stokes (NS) 方程的湍流

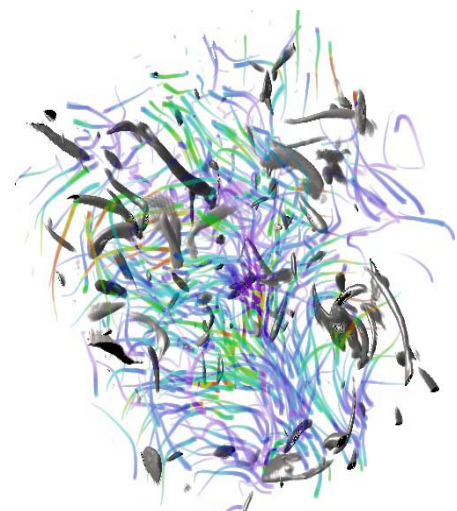
$$\frac{\partial \mathbf{u}_i}{\partial t} + \frac{\partial \mathbf{u}_i \mathbf{u}_k}{\partial x_k} = -\frac{1}{\rho} \frac{\partial p}{\partial x_i} + \nu \frac{\partial^2 \mathbf{u}_i}{\partial x_k \partial x_k}$$
$$\frac{\partial \mathbf{u}_k}{\partial x_k} = \mathbf{0}$$

控制方程: Navier(1827), Stokes(1845)

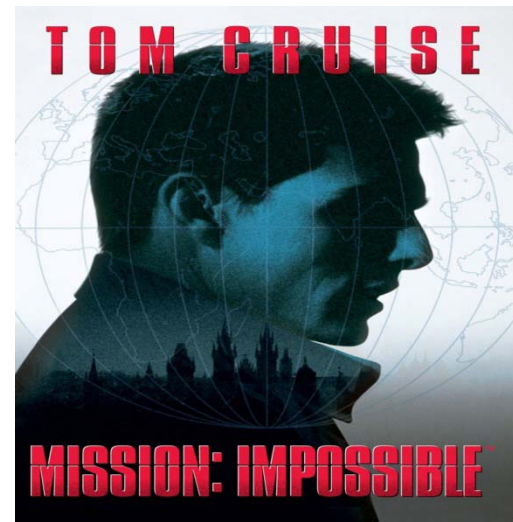
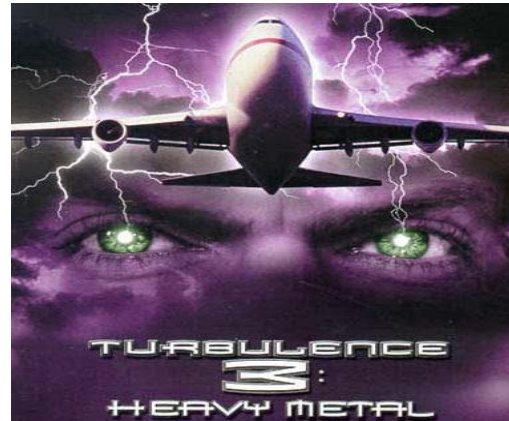
湍流现象: Reynolds number (1894)



- 数学家: NS方程解的存在唯一性 (克雷数学问题)
- 物理学家: 湍流作为非平衡态的普适性质
- 力学家: 工程湍流的预测和设计
 - 边界层方程: 飞机设计的基本理论
 - 湍流的统计理论: 所有湍流的基本物理图像
 - 数值模拟: 新一代的工业设计工具



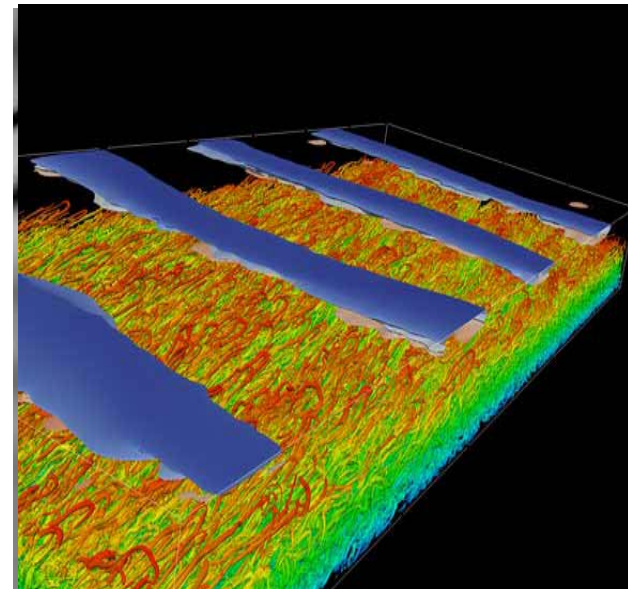
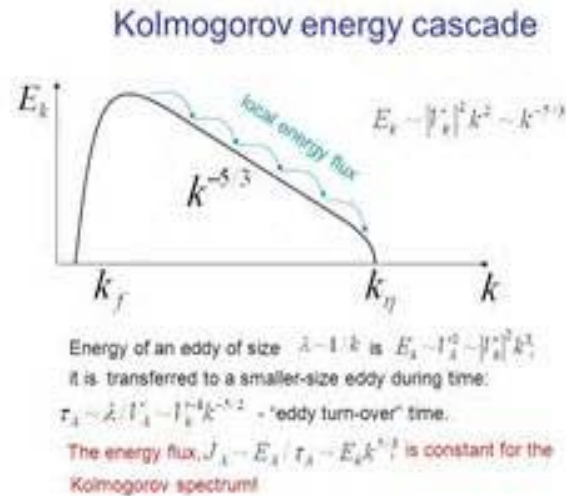
- 终极目标：Navier-Stokes方程的解
 - $u(x, t) = ?$
 - mission: impossible
- 有限目标：NS方程解的性质
 - 能量分布: $E(k) = \langle u(k, t)u(-k, t) \rangle$
 - 压力分布: $P(x, t) = ?$
- 工业应用：湍流与其它物理过程耦合
 - 湍流与化学反应
 - 湍流与声波
 - 湍流与运动物体



湍流70年的两个主要进展

- 湍流统计理论 (1940) :
 - 柯尔莫哥洛夫, Kraichnan, 周培源
 - EDQNM, DIA(JFM 引用率最高)
 - 特点: 流体力学 + 应用数学+ 统计物理!

- 湍流的计算机模拟 (1980)
 - Moin(1987) (JFM引用率最高) :
 - 直接数值模拟槽道湍流
 - 湍流的大涡模拟: 气象学家从1963年开始
 - 特点: 流体力学 + 计算数学+计算机



进展1 湍流的统计理论：EDQNM

- NS方程的Fourier形式： $(\frac{\partial}{\partial t} + \nu k^2)u = \sum uu$
- 能量（二阶矩）方程（周培源）

$$(\frac{\partial}{\partial t} + \nu k^2) \langle uu \rangle = \sum \langle uuu \rangle \quad \overline{=} \quad \sum \langle uu \rangle \langle uu \rangle$$

$$(\frac{\partial}{\partial t} + \nu k^2) \langle uuu \rangle = \sum \langle uuuu \rangle \quad \begin{matrix} \text{高斯封闭} \\ \underline{\langle uu \rangle \langle uu \rangle < 0} \end{matrix} \quad \sum \langle uu \rangle \langle uu \rangle$$

- 引入涡阻尼系数的能量方程

$$(\frac{\partial}{\partial t} + 2\nu k^2) E(k, t) = \int \theta(t) \sum \langle uu \rangle \langle uu \rangle dp$$

- 涡阻尼系数 $\theta(k)$: 时间尺度是湍流的重要问题

- 欧拉时空关联 $\theta(k) \propto (\nu k)^{-1}$: $E(k) \propto k^{-3/2}$
- 拉格朗日时空关联 $\theta(k) \propto \varepsilon^{-1/3} k^{-2/3}$: $E(k) \propto k^{-5/3}$

时空关联：湍流的基本问题

- Kolmogorov(1941): 空间能量谱

$$E(k) \sim k^{-5/3}$$

- Tennekes(1975): 时间能量谱

$$E(\omega) \sim V^{2/3} \omega^{-5/3}$$

- 时空能量谱 (时空关联)

$$E(k, \omega) = ?$$

时空关联的定义

- 两点两时刻的速度关联

$$C(r, \tau) = \langle u_i(x, t) u_i(x + r, t + \tau) \rangle$$

- 时空能量谱

$$E(k, \omega) = \left| \int C(r, \tau) \exp(-i\varpi\tau + ikr) d\tau dr \right|$$

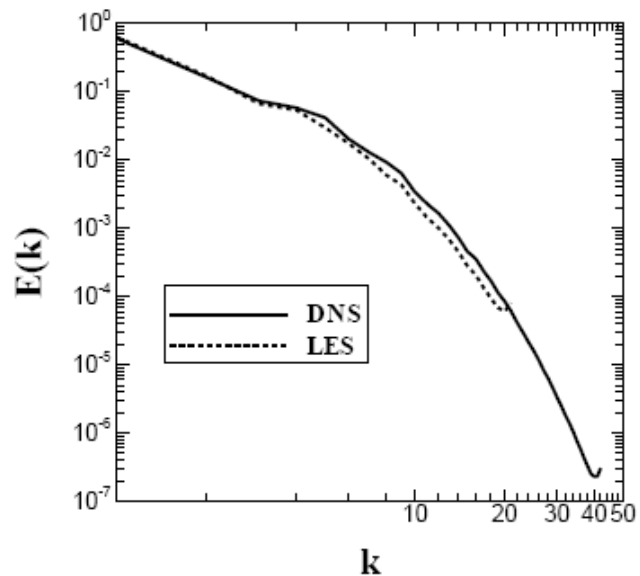
- 空间能量谱

$$E(k) = \int E(k, \varpi) d\varpi$$

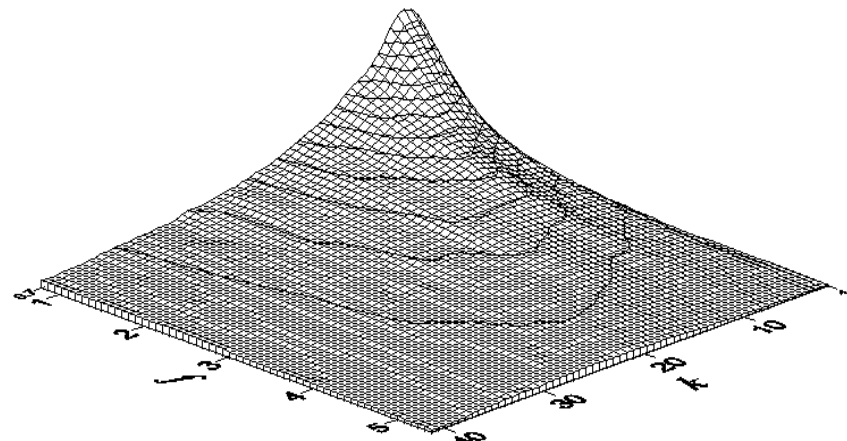
- 傅立叶模态的时空关联

$$C(k, \tau) = \langle u_i(k, t) u_i(-k, t + \tau) \rangle$$

时空能量谱（时空关联）的主要问题



空间能量谱



时空能量谱

- 时空能量谱（时空关联）的普适特性: 模型
- 大涡模拟预测时空能量谱: 时间精确的大涡模拟

时空关联的主要结果和问题

- **Taylor冻结流模型(1938): 弱剪切湍流**

- 湍流模型的基础，实验测量的工具：
 - 林家翘和Lumley：不适合强剪切湍流，如湍流热对流

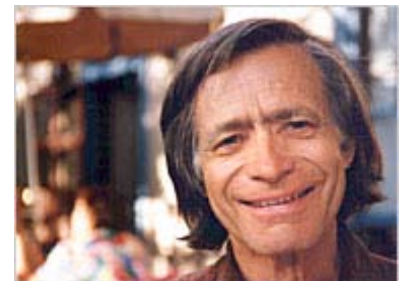


G. I. Taylor

- **Kraichnan下扫模型(1964): 均匀各向同性湍流**

- 经典DIA理论的基础
 - 不适合工程实际的剪切湍流

现代流体力学的奠基人



R.H. Kraichnan
美国科学院院士,
爱因斯坦的学生

- **问题：剪切湍流的时空关联模型**

- 现状：泰勒框架下的改进 – 线性模型
如：Corrsin, Jimenez, Townsend ...
 - 意义：湍流能量在时空尺度上的分布规律

剪切湍流的EA (Elliptic Appr.) 模型

- EA模型的关键：涡的畸变 – 非线性模型

—Taylor 模型：涡的传播

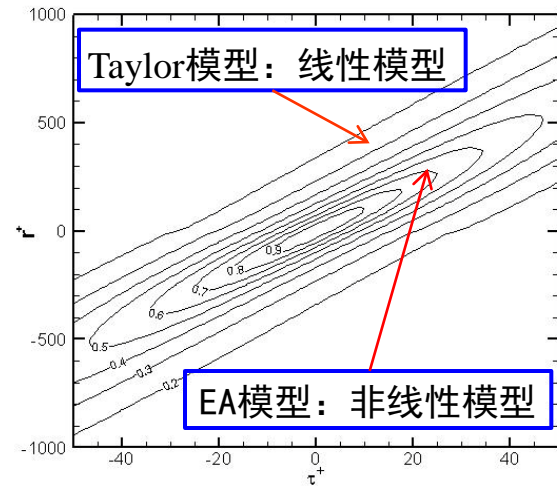
—EA 模型： 涡的传播与畸变耦合

- EA模型的内容

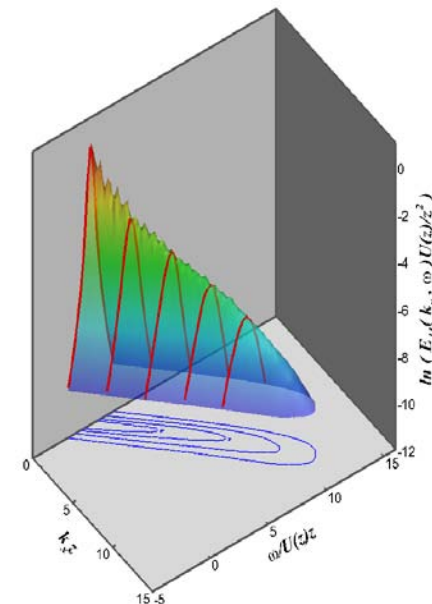
EA模型	$R(r, \tau) = R\left(\sqrt{(r-U\tau)^2 + V^2\tau^2}, 0\right)$	涡传播和畸变耦合
Taylor模型	$V = 0: R(r, \tau) = R(r - U\tau, 0)$	涡传播：速度 U
Kraichnan	$U = 0: R(r, \tau) = R\left(\sqrt{r^2 + V^2\tau^2}, 0\right)$	涡畸变：速度 V

- EA模型：剪切湍流的基本模型

- 实验：把时间信号转换为空间信号
- 计算：Time-accurate large-eddy simulation
- 理论：时空能量谱（湍流演化的去关联过程）



时空关联等位线



EA 模型的理论推导

- 湍流的两个基本性质

(1) Taylor 相似性：湍流的涡具有不变的局部传播速度 U

→ 关联等位线共有一个主轴方向： $\tan^2 \alpha \approx U^2$

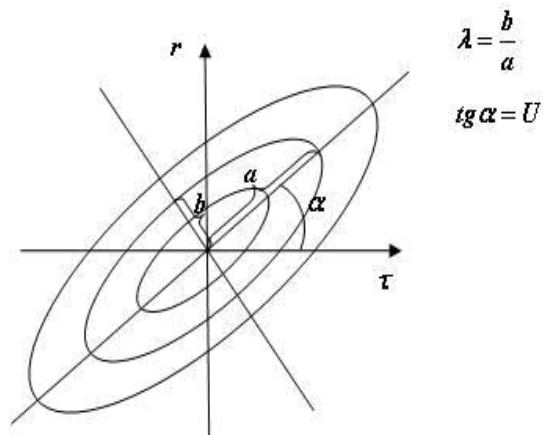
(2) Kolmogorov 相似性：湍流的涡具有相同的畸变速度 V

→ 关联等位线有一个相同长短比： $\lambda^2 = V^2$

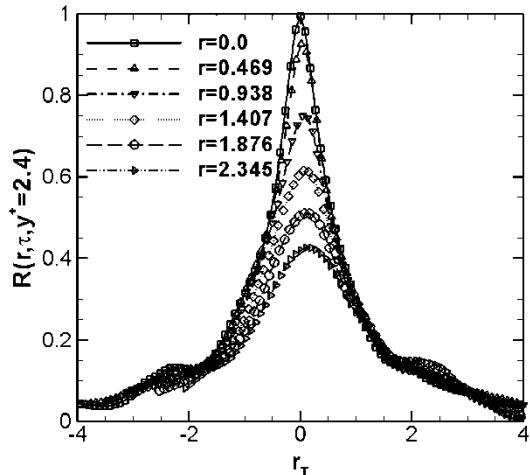
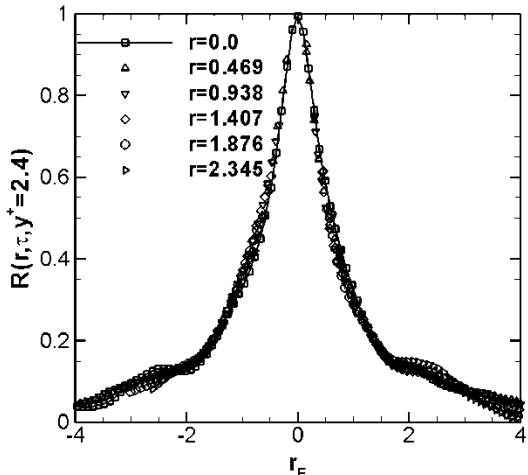
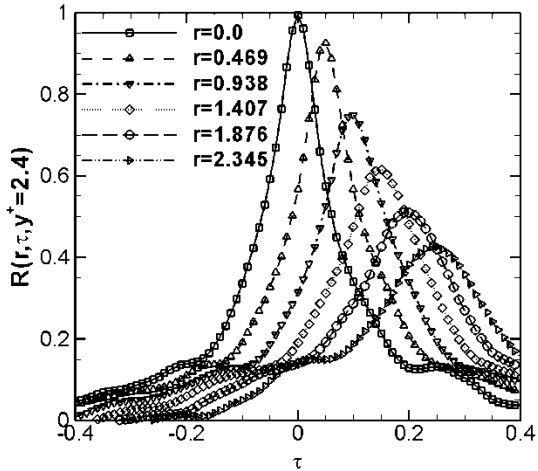
- EA模型

$$R(r, \tau) = R(\sqrt{(r - U\tau)^2 + V^2\tau^2}, 0)$$

- 方法：时空关联的等位线



- 时空关联在分离距离 r 对分离时间 τ 的变化,



椭圆模型:

$$R(r, \tau) = R(\sqrt{(r - U\tau)^2 + V^2\tau^2}, 0)$$

R VS $r_E^* = \pm \sqrt{(r - U\tau)^2 + V^2\tau^2}$

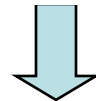
用EA模型重新标度，所有曲线重合为一条



泰勒假设

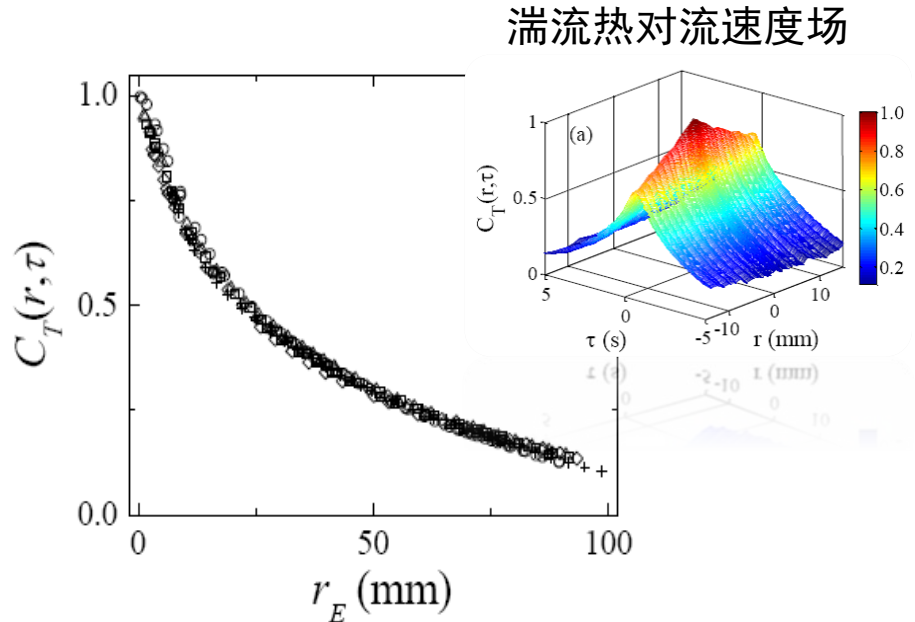
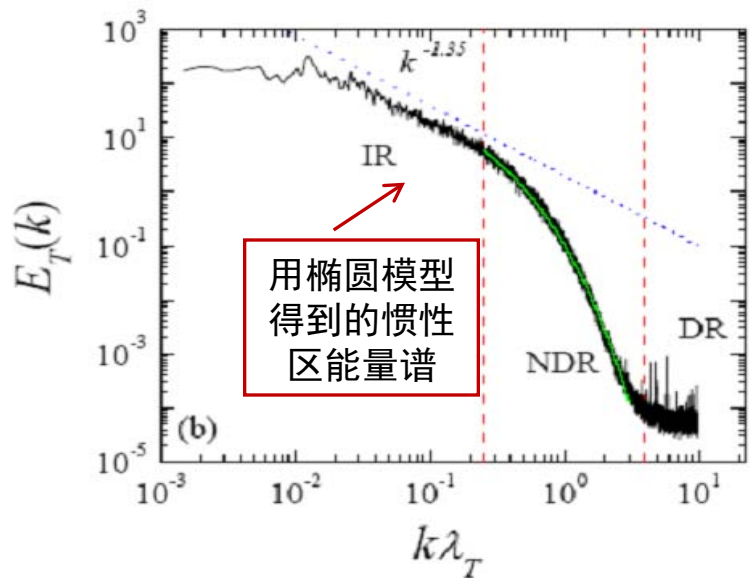
$$R(r, \tau) = R(r - U\tau, 0)$$

R VS $r - U\tau$



EA模型的实验研究：湍流热对流实验

- 湍流热对流实验
 - 强剪切: Taylor模型的条件不满足
 - 从实验得到了湍流能量谱: 时空信号转换
- 验证EA: 用EA模型重新标度, 曲面重合为曲线



时空关联的进展

- 湍流时空关联模型

欧拉	不可压缩	EA 模型 (2006)	$R(r, \tau) = R\left(\sqrt{(r - U\tau)^2 + V^2\tau^2}, 0\right)$	涡传播+畸变
		Taylor模型 (1936)	$V = 0: R(r, \tau) = R(r - U\tau, 0)$	涡传播: 速度 U
		Kraichnan (1964)	$U = 0: R(r, \tau) = R\left(\sqrt{r^2 + V^2\tau^2}, 0\right)$	涡畸变: 速度 V
拉	可压缩	Swept-wave模型 (2014)	$R(k, \tau) = \cos(kc\tau) \exp(-\frac{1}{2}k^2V^2\tau^2)$	涡畸变 + 声波
		Wave (斯坦福: Lee, Lele, Moin) (1992)	$R(k, \tau) = \cos(kc\tau)$	声波
拉格朗日	EA模型 (2009)		$R(r, \tau) = R\left(\sqrt{r^2 + V^2\tau^2}, 0\right)$	强剪切
	Hay-Smith		$R(r, \tau) = R(r - U\tau, 0)$	弱剪切

- 时空能量谱的模型 → 湍流噪声谱

- 涡传播 U: 多普勒 shifting
- 涡畸变 V: 多普勒 broadening (Wilzeck & Meneveau, JFM 2015)

成果2 湍流的数值模拟：代替实验的设计工具



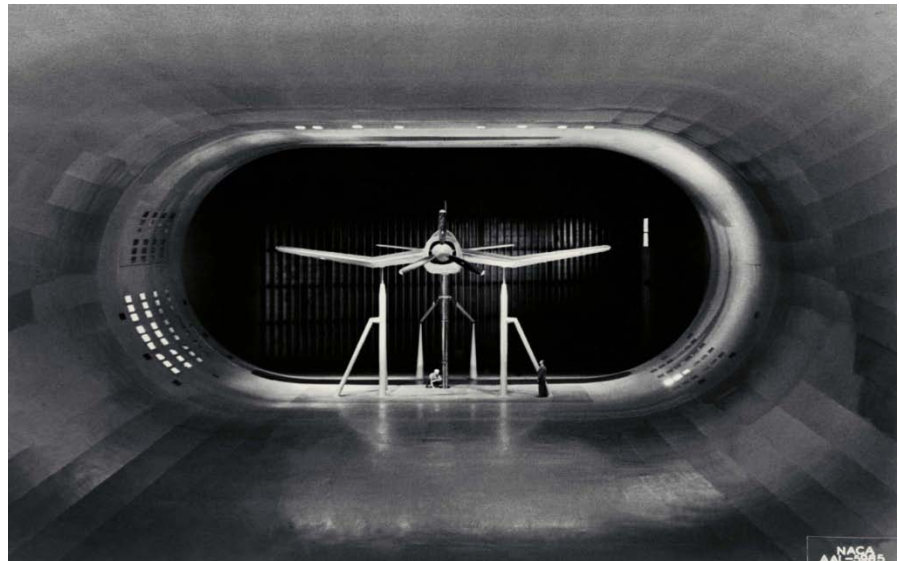
- LES vs DNS and RANS

	Cost	Unsteady Statistics	Turbulence models	
DNS	Unacceptable	Truly representative	Not necessary	$u(x, t) = ?$
LES	Affordable	Predictable	Universal	$\bar{u}(x, t) = \int_{x-\varepsilon}^{x+\varepsilon} u(x, t) dx$
RANS	Cheap	Difficult (URANS)	Empirical	$\langle u \rangle = \int_0^{+\infty} u(x, t) dt$

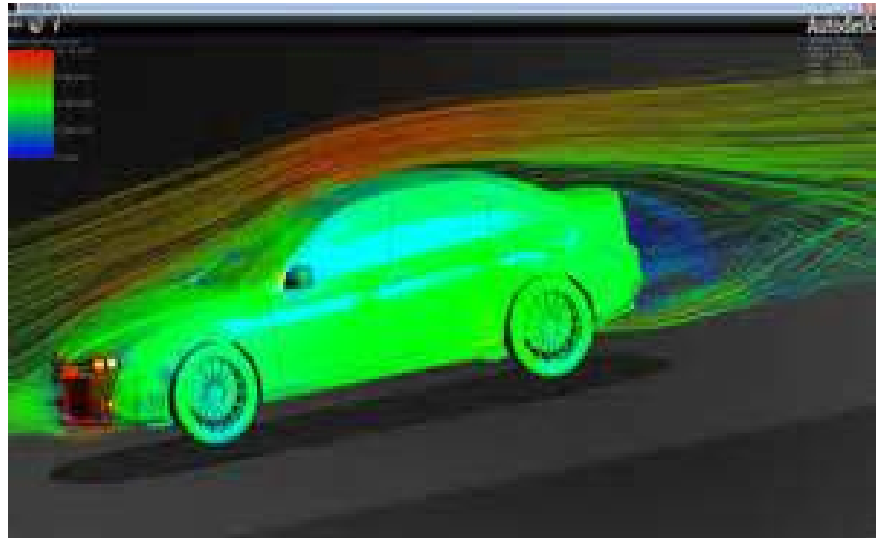
- 历史发展

- 1980 Reynolds + Moin : LES
- 1987 DNS
- 1990 LES
- 2000 multi-scale, multi physics LES
- 2010 LES for complex turbulence

计算流体力学第一个里程碑：数值风洞



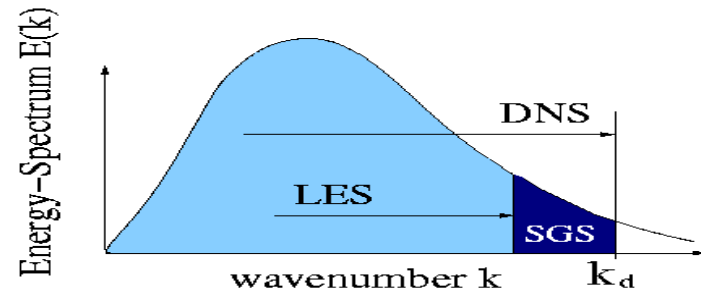
- 全世界最大的风洞：NASA
- 汽车的全车数值模拟
- 飞机全机数值模拟 ?



LES: a brief introduction

- Large eddy simulation (LES)
velocity =large scales + small scales

↑ ↑
computed modeled



- Filtered Velocity $\bar{u}_i(x, t) = \frac{1}{V} \int_{\Omega} u_i(y, t) G(y - x) dy$, G is a filter.

The filtered Navier-Stokes equation

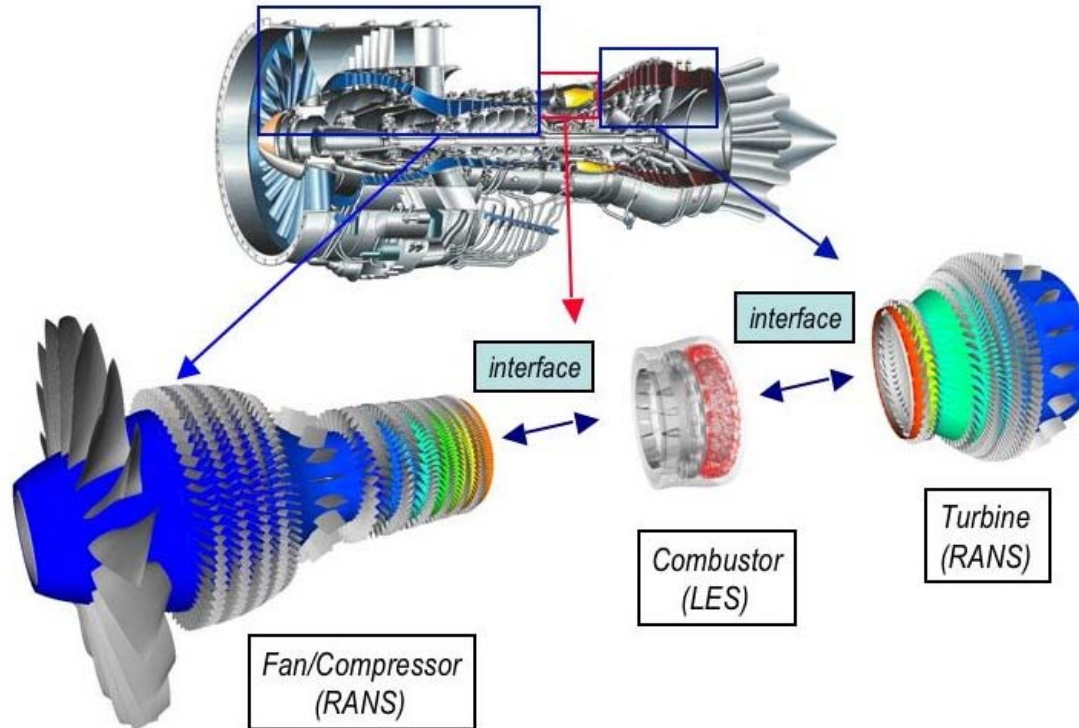
$$\frac{\partial \bar{u}_i}{\partial t} + \bar{u}_j \frac{\partial \bar{u}_i}{\partial x_j} = -\frac{1}{\rho} \frac{\partial \bar{p}}{\partial x_i} + \nu \nabla^2 \bar{u}_i + \frac{\partial}{\partial x_j} (\bar{u}_i \bar{u}_j - \bar{u}_i \bar{u}_j)$$

- Key issues in LES: the filtered N-S equation
 1. Filtering: mathematic framework \leftarrow deconvolution
 2. Subgrid scale modeling: energy dissipations \leftarrow filter sizes
 3. Numerical algorithm: truncated errors \leftarrow grid sizes

大涡模拟方法的基本数学问题

- 滤波速度 $\bar{u}(x, t) = \int_{x-\varepsilon}^{x+\varepsilon} u(x, t) dx$
- 滤波NS方程 $\frac{\partial \bar{u}_i}{\partial t} + \bar{u}_j \frac{\partial \bar{u}_i}{\partial x_j} = -\frac{1}{\rho} \frac{\partial \bar{p}}{\partial x_i} + \nu \nabla^2 \bar{u}_i + \frac{\partial}{\partial x_j} (\bar{u}_i \bar{u}_j - \bar{u}_i \bar{u}_j)$
- 基本问题
 - 非线性项的近似表达式 $\bar{u}_i \bar{u}_j - \bar{u}_i \bar{u}_j = ?$
 - 滤波NS方程的解是否收敛于NS方程的解
- 滤波LES方程是否收敛NS方程：Camassa–Holm方程

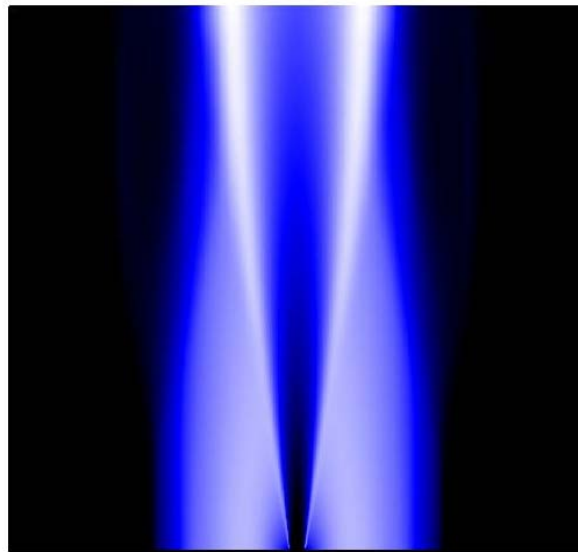
里程碑2 航空发动机全机数值模拟：大涡模拟



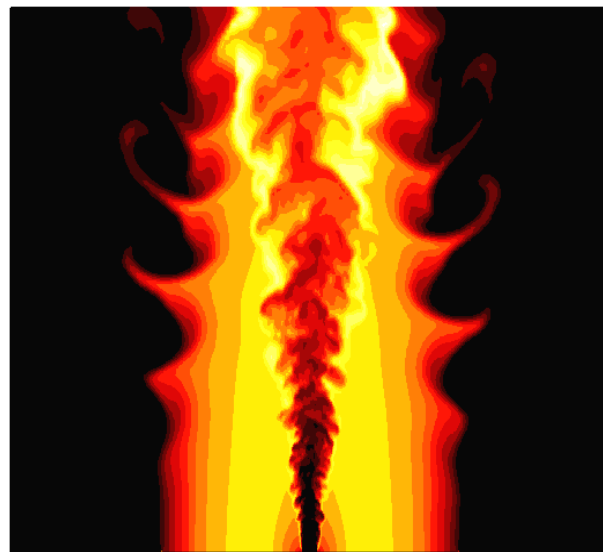
- 压气机：高速流，强逆压梯度
- 燃烧室：低速流，高温升
- 涡轮：高速流，结构复杂
- 全机数值模拟(2008年)：4000节点，14天

湍流燃烧的大涡模拟

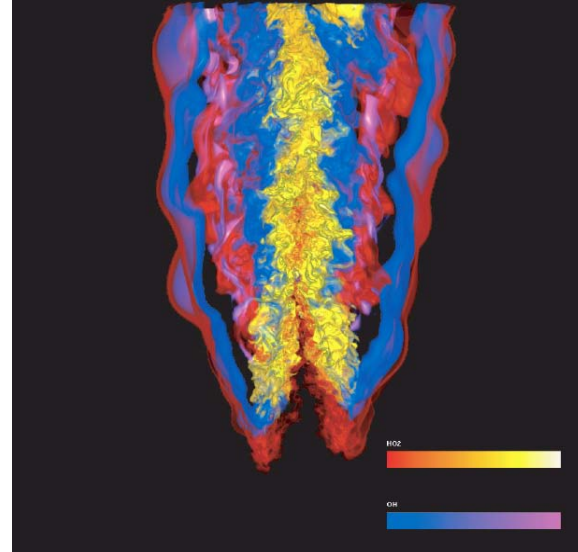
- 强湍流，强混合；瞬态温度波动大
- 湍流模型和燃烧模型的双方面挑战
- 主要进展：点火与熄火过程 – 航空发动机的点火和熄火



雷诺平均



大涡模拟



直接数值模拟

非预混的湍流燃烧

- 湍流和化学反应的耦合

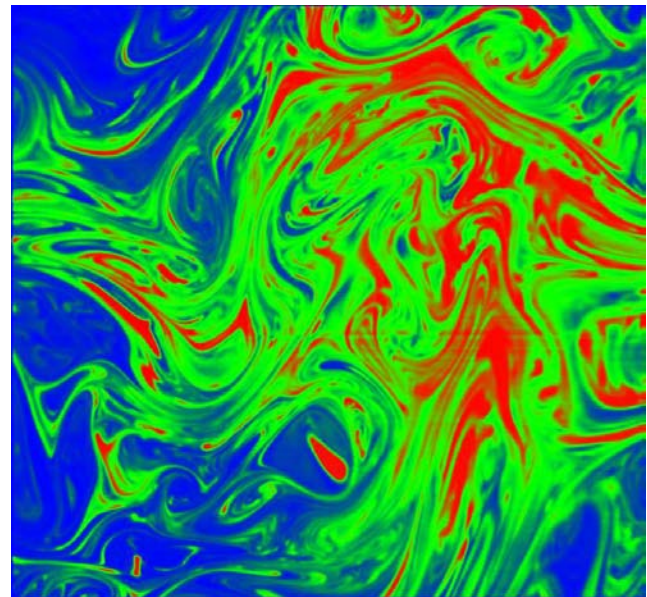
- 湍流: Navier-Stokes方程

$$\partial_t \varphi + \mathbf{u} \cdot \nabla \varphi = \kappa \nabla^2 \varphi + Q(\varphi)$$

- 化学反应的组份方程: 对流-反应-扩散方程

$$\mathbf{u} : \partial_t \mathbf{u} + \mathbf{u} \cdot \nabla \mathbf{u} = -\nabla p + \nu \nabla^2 \mathbf{u} + \mathbf{f}$$

- 组份方程的刚性
- 复杂的几何边界条件



The PDF transport equation

- PDF $f(\varphi; \mathbf{x}, t)$ at one point \mathbf{x} , one time t

$$\frac{\partial f}{\partial t} + \frac{\partial}{\partial \mathbf{x}} \underbrace{[\langle \mathbf{u} | \psi \rangle f]}_{\substack{\text{Modeled} \\ \text{Homogeneous: zero}}} + \frac{\partial}{\partial \psi} \underbrace{[\langle \kappa \nabla^2 \varphi | \psi \rangle f]}_{\text{Modeled}} + \frac{\partial}{\partial \psi} \underbrace{[Q(\psi) f]}_{\text{Exact}} = 0$$

- Key problem: conditional Laplacian (diffusion)

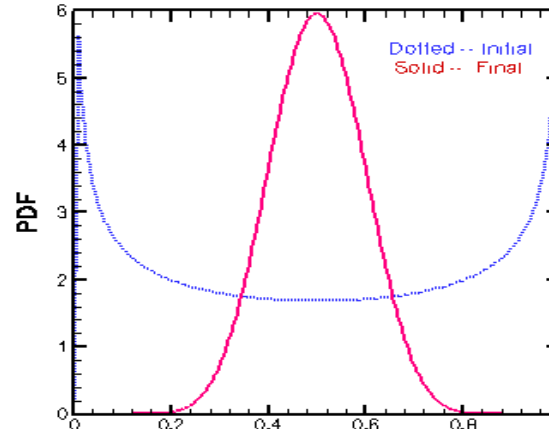
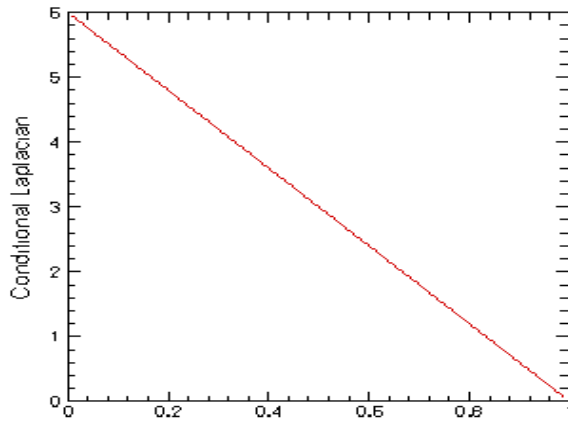
$$\chi = \langle \kappa \nabla^2 \varphi | \psi \rangle$$

- Non-premixed combustion, particle dispersion
in turbulence and micro-fluidics.

Gaussian closure: 不能描写混合过程

$$\langle \kappa \nabla^2 \varphi | \psi \rangle = -\frac{1}{2\tau} (\psi - \langle \varphi \rangle)$$

- Linear shape: no relaxation to Gaussian in diffusion



- **Time scale τ : free parameter**

k- ε model doesn't include the effects of reaction

passive scalar : $\tau = k / \varepsilon$

reactive scalar : $\tau = k / |\varepsilon - \langle \varphi Q(\varphi) \rangle|$

Mapping closure: nonlinear mapping of Gaussian closure

- Basic idea

$$\varphi = X(\theta(x), t)$$

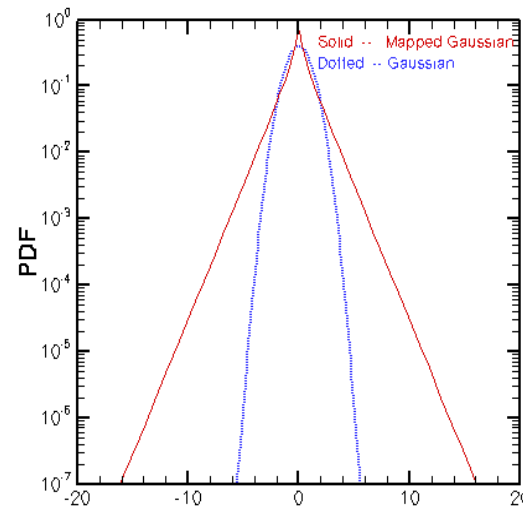
$$\varphi(x, t) \leftarrow \theta(x, t)$$



$$P(\psi, t) \leftarrow P(\theta) = \frac{1}{\sqrt{2\pi}} e^{-\frac{\theta^2}{2}}$$

$$P(\psi, t) = P(\theta) [\partial X / \partial \theta]^{-1}$$

- Nonlinear mapping



$$\varphi = X(\theta) = 0.5(\theta + \theta |\theta|)$$

- Nonlinear mapping X : W-H expansion
- Reference field θ ? its two-point correlation $\varphi(r, t)$?

The model equations from MCA

$$\frac{\partial X}{\partial t} = -2\kappa\rho''(0,t) \left[\frac{\partial^2 X}{\partial \theta^2} - \theta \frac{\partial X}{\partial \theta} \right] + Q(X) \quad P(\psi, t) = P(\theta) [\partial X / \partial \theta]^{-1}$$

$$\frac{\partial \rho(r,t)}{\partial t} + \nabla_r \bullet \langle (\mathbf{u}_1 - \mathbf{u}_2) X_1 X_2 \rangle \left\langle \frac{\partial X_1}{\partial \theta_1} \frac{\partial X_2}{\partial \theta_2} \right\rangle^{-1} = 2\kappa \bullet$$

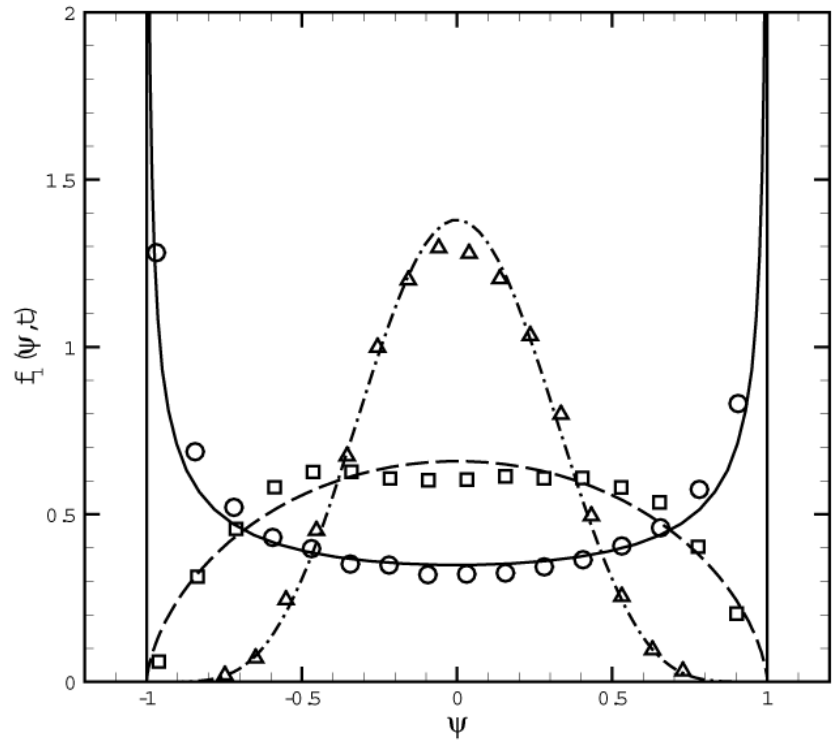
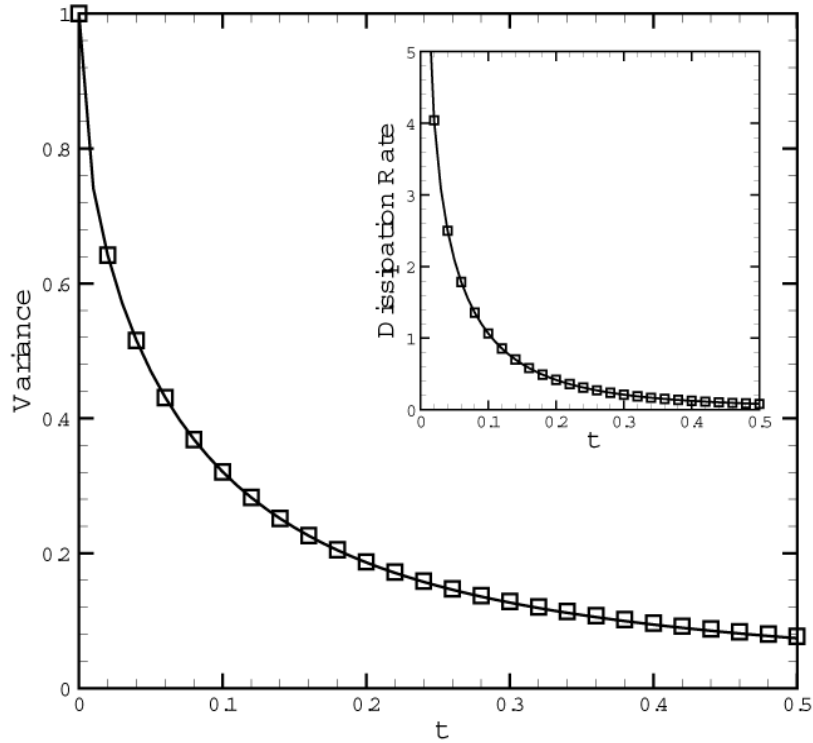
$$\left[\rho''(r,t) + \frac{\rho'(r,t)}{r} - 2\rho(r,t)\rho''(0,t) + \rho'^2(r,t) \left\langle \frac{\partial^2 X_1}{\partial \theta_1^2} \frac{\partial^2 X_2}{\partial \theta_2^2} \right\rangle \left\langle \frac{\partial X_1}{\partial \theta_1} \frac{\partial X_2}{\partial \theta_2} \right\rangle^{-1} \right]$$

- Comparison with DNS of scalar mixing
- Numerical algorithm: Adams-Bashforth in time
4th-order finite difference in space
- Statistics: variance, dissipation and PDF

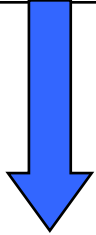
Diffusion process: a basic test only for conditional Laplacian

$$\partial_t \varphi = \kappa \nabla^2 \varphi \quad (\kappa = 0.01)$$

Periodic boundary, initial double-delta distribution $E_\varphi(k) \propto k^{-17/3}$

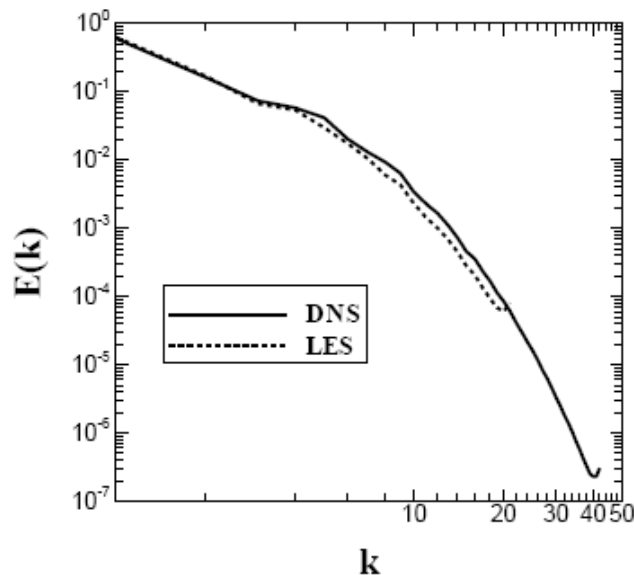


湍流噪声的大涡模拟（飞行器和潜艇噪声）

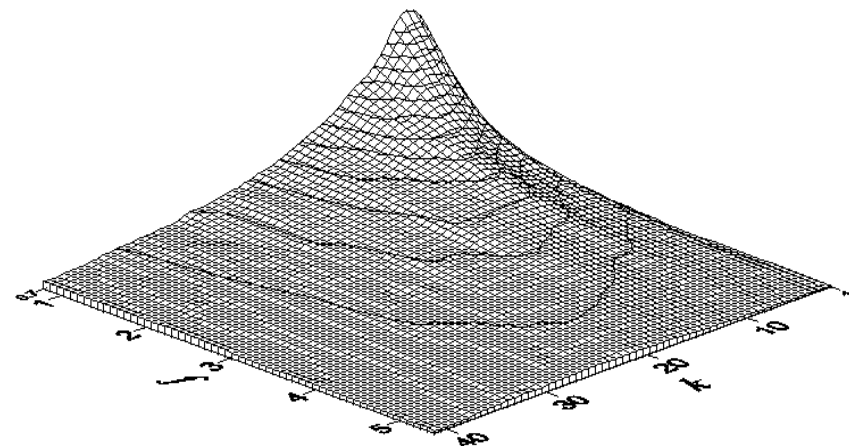
<p>Surface pressure</p> $I = \frac{x_i x_j}{16\pi^2 \rho_0 c_0^3 \mathbf{x} ^4} \frac{\partial^2}{\partial \tau^2} \int_S R_p(\mathbf{r}, \tau) n_i n_j dS +$ <div style="border: 1px solid blue; padding: 5px; margin-top: 10px;"><p>Pressure space-time correlation</p></div> <div style="text-align: center; margin-top: 20px;"></div> <div style="border: 1px solid black; padding: 5px; margin-top: 10px;">$R_p(\mathbf{r}, \tau) = \overline{(p - p_0)(\mathbf{x}, t) \cdot (p - p_0)(\mathbf{x} + \mathbf{r}, t + \tau)}$</div>	<p>Flow velocity</p> $\frac{\rho_0}{16\pi^2 c_0^5} \frac{x_i x_j x_k x_l}{x^6} \frac{\partial^4}{\partial \tau^4} \int (R_{ik}(\mathbf{r}, \tau) R_{jl}(\mathbf{r}, \tau_0) d\mathbf{r}$ <div style="border: 1px solid green; padding: 5px; margin-top: 10px;"><p>Velocity space-time correlation</p></div> <div style="text-align: center; margin-top: 20px;"></div> <div style="border: 1px solid black; padding: 5px; margin-top: 10px;">$R_{ij}(\mathbf{r}, t) = \overline{u_i(\mathbf{x}, \tau) \cdot u_j(\mathbf{x} + \mathbf{r}, t + \tau)}$</div>
---	---

- Lighthill acoustic analogy: Acoustic intensity at far-field is determined by space-time correlation or wavenumber-frequency energy spectra. Wavenumber Energy spectra alone are not sufficient.
- Some CFD software only considers the acoustic compact source. This is a trivial case without retarded time “\tau”, where space-time correlation is incorrectly modeled.

湍流噪声大涡模拟的关键：时空关联



Wavenumber energy spectra



Wavenumber and frequency energy spectra

f : frequency; k : wavenumber ; vertical axes: energy spectra

- 时空能谱（时空关联）：湍流噪声的重要问题
- 时间精确的大涡模拟：预测湍流的时空关联

Time-accurate large-eddy simulation (LES)

- LES vs DNS and RANS

	Cost	Time scales (Unsteady Statistics)	Turbulence models
DNS	Unacceptable	Truly representative	Not necessary
LES	Affordable	Predictable	Universal
RANS	Cheap	Difficult (URANS)	Empirical

- A time-accurate LES
 - Conventional LES correctly predicts **energy spectra: spatial scales**
← Subgrid scale models are developed on energy budget equation
 - Time accurate LES: predict **frequency spectra: time scales**
← That is a new challenge to turbulence theory and modeling .

1. Filtering approach

- LES: spatial filtering, temporal filtering (违反伽利略不变性)
- proposed filter: space-time filtering

2. Sub-grid scale model

- dynamic procedure for eddy-viscosity SGS model
- proposed model: EA model for space-time correlations

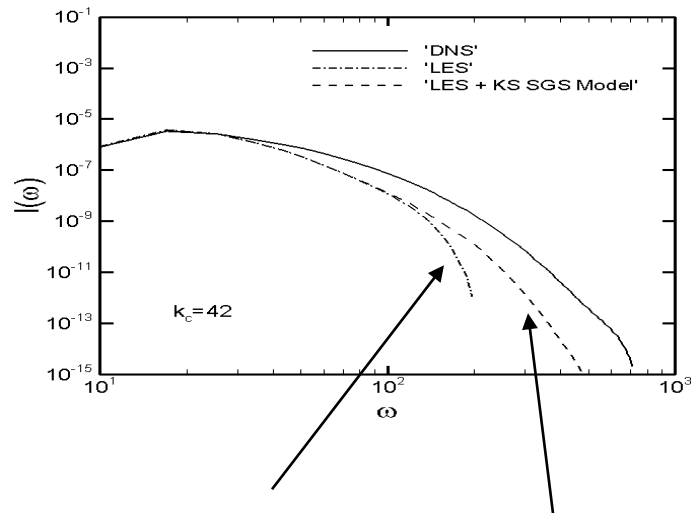
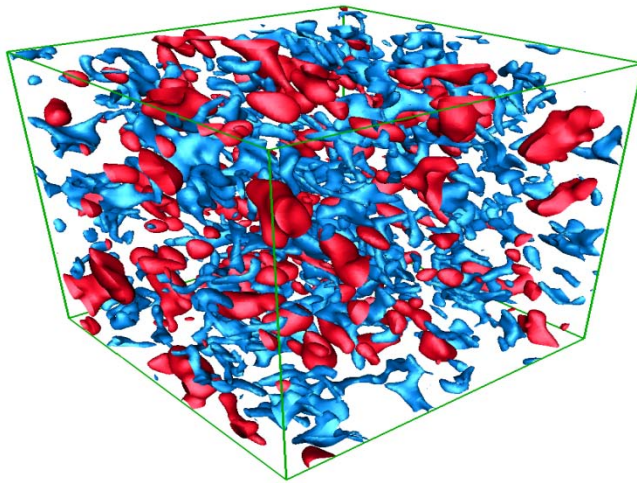
Kinematic SGS model, Vremann model

3. Numerical methods

- kinematic energy conservation
- proposed method: space-time conservation

湍流噪声大涡模拟的亚格子模型

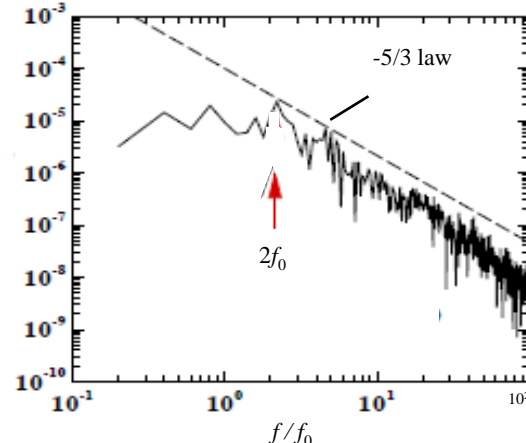
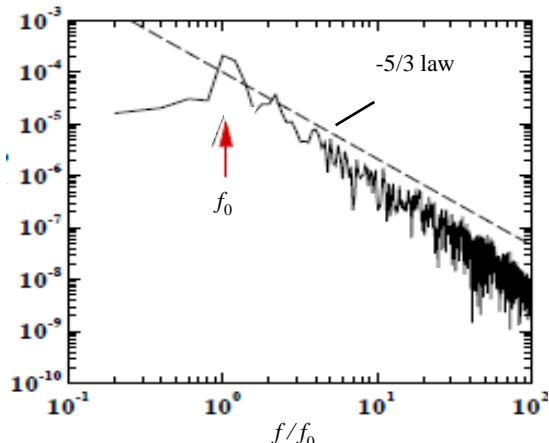
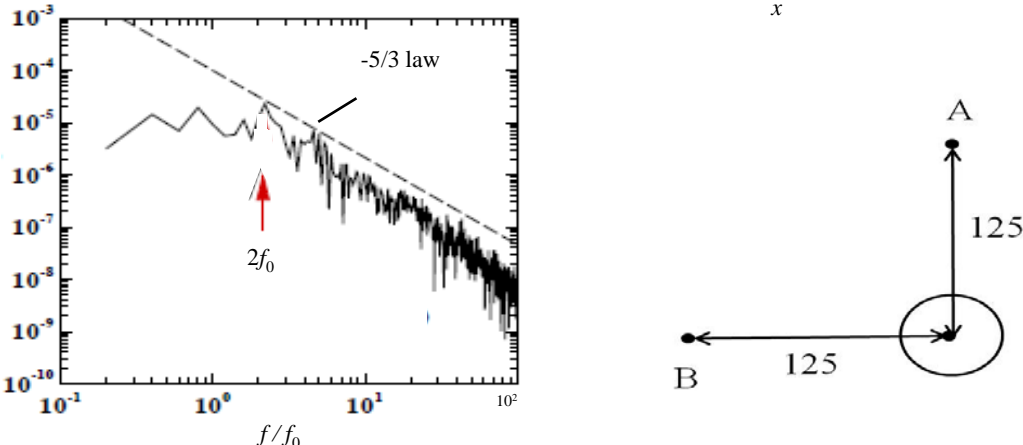
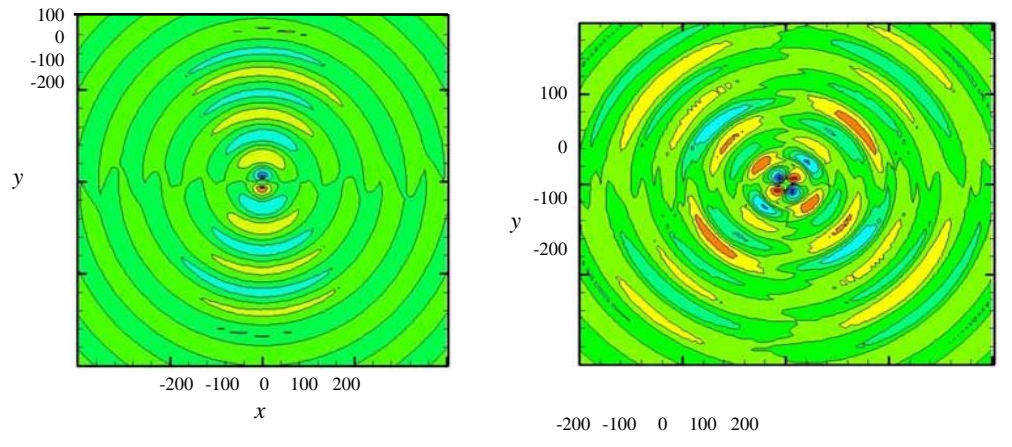
- Dynamic SGS model for unresolved scales in turbulence
- Kinematic SGS model for missing scales in turbulence-generated noise
- Benchmark: Noise radiated from isotropic turbulence



Kinematic model

LES of turbulent wake and sound radiation

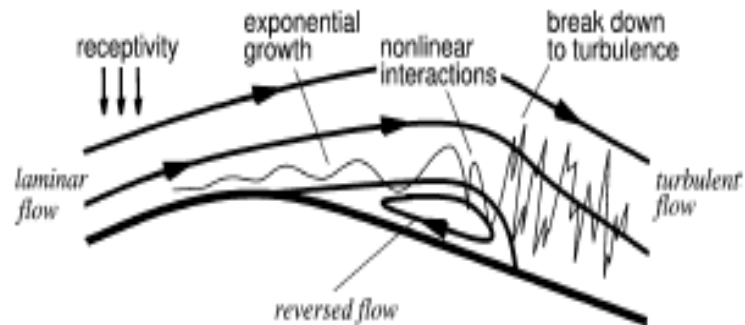
- 圆柱尾流的大涡模拟: $\text{Re}=3900$, cell number 6×10^6
 - Vreman SGS model – Transition & separation
 - 远场噪声: Curle 积分
- 压力脉动的偶极子
速度脉动的四极子
- 远点噪声谱: 峰值+宽谱



- 湍流的转捩、分离和再附：大涡模拟

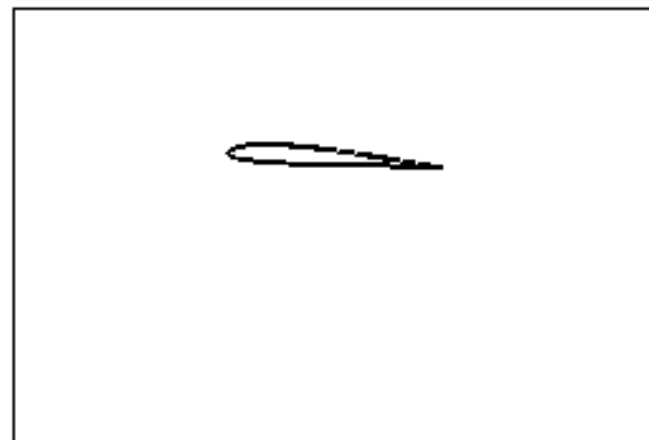
- Laminar-bubble Separation
- Receptivity \Rightarrow Linear growth stage

\Rightarrow Nonlinear instabilities \Rightarrow Turbulence transition



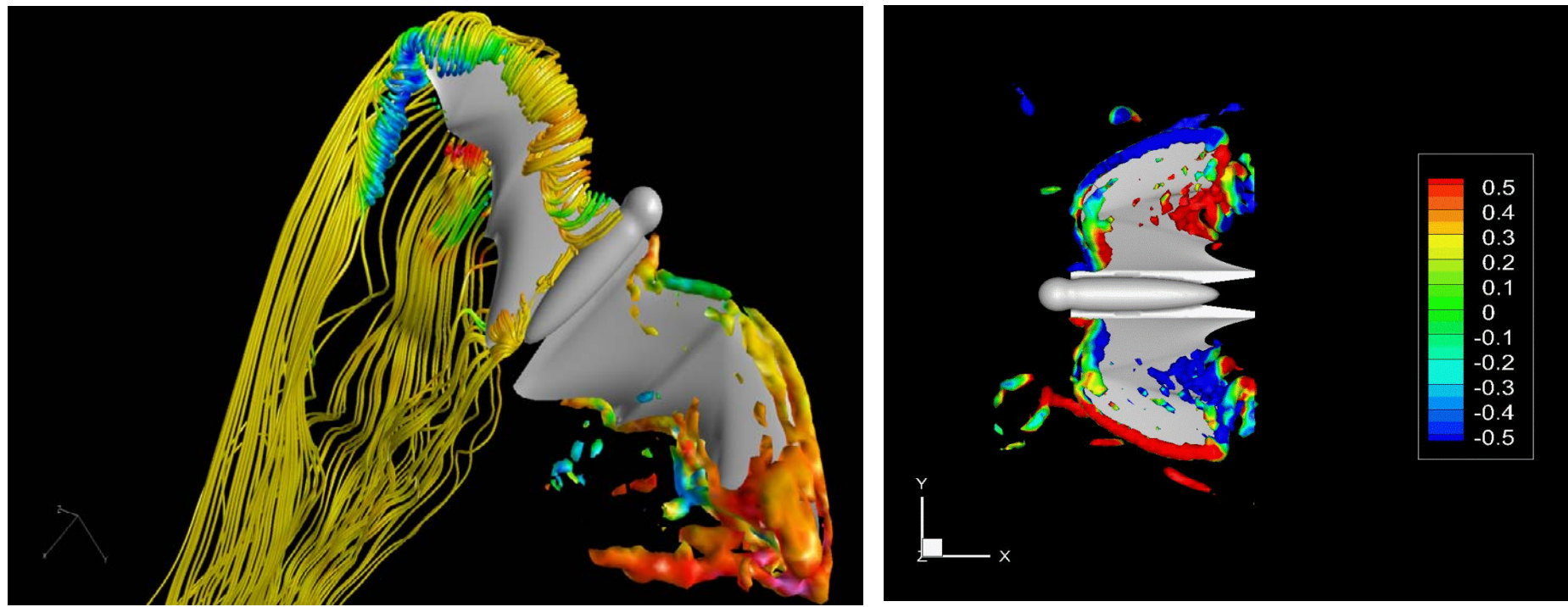
- 动边界的NS方程：移动边界问题

- 动边界的边界层方程：加速边界层
- 流固耦合问题：浸入边界方法



LEV on bat wing at downstroke

- Attached LEV is observed on both wings but the two LEVs are not connected
- LEV merges with tip-vortex at the wing-tip and connects to the root-vortex at the wing-base.



The streamlines and vortex structures around the wing during the down-stroke when the wing is horizontal (top view for flight speed 1m/s).

The vortex structures are identified using the Q-criterion and colored by the stream-wise vorticity.

3(+1)个数学问题

- 边界层方程：加速，曲面 → 生物推进，潜艇，航空器
- 大涡模拟方程的收敛性：Camassa-Holm 方程

下一代计算流体力学软件的主要工具

- 能量耗散率的收敛性： $\lim_{\nu \rightarrow 0} \left\langle \nu \frac{\partial^2 u}{\partial x^2} \right\rangle = \text{常数}$

Kolmogorov统计理论，NS方程解的存在唯一性

- 湍流：一个领域 - 重要进展

不是一个单独的问题

- NS方程：形式简洁，普适特性

数学，物理，计算机，力学

- 时空尺度耦合：湍流普适特性的核心问题

湍流噪声，发动机燃烧